

熱回路数値解析法による自然空調に関する研究

正会員 木村建一 * ○同 奥山博康**

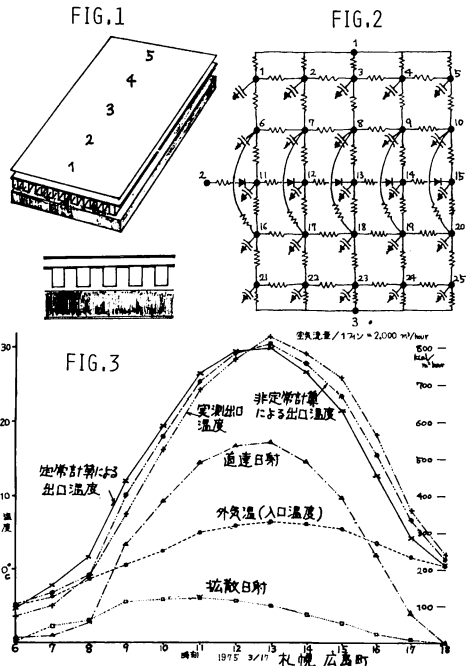
1. はじめに。太陽熱集熱器の数値モデルとして定常からさらに非定常のモデルを仮定するとともに熱システムすべての汎用プログラムを作成した。次に同じ手法により自然空調の家のシステムシミュレーションを行って各サブシステムの有効性を調べてみたい。

2. 計算法。非定常熱伝導微分方程式 $\frac{\partial T}{\partial t} = \frac{\lambda}{C_p A} \left(\frac{\partial^2 T}{\partial x^2} + \frac{\partial^2 T}{\partial y^2} + \frac{\partial^2 T}{\partial z^2} \right)$ を適用する対象を有限要素に分割し、それらをそれを各節点とみたす。よ節点に注目して熱的に接続している節点を一般に i 節点とすれば

$(MC_p) \frac{dT_i}{dt} = \sum C_{ij} (T_j - T_i) + H_i$ と書き換えられる。 $(MC_p)_j$ は j 節点の熱容量であり、 C_{ij} は i から j に向かう熱 conductivity タンス、 H_i は j 節点が自ら発生する熱である。実際には節点が流れている流体を表わす場合で静止しているとみなし熱だけの流れと考えた。たとえば i 節点から j 節点に定圧比熱 C_p 、比重 ρ 、流量 V で流体が流れているとすれば $C_{ij} = C_p \rho V$ となる。後進差分表示した式 $((MC_p)_j / dt + \sum C_{ij}) T_j - \sum C_{ij} T_i = (MC_p)_j T_j / dt + H_j$ から得られる方程式 $[C] \cdot T = H$ は汎用プログラムによつて機械的に作製、解くことができる。すばやく求めらるべき未知数とは各節点のゲループに順に番号をふり、いつ温度が与えられるよう各節点のゲループに別に順番号をふるるのである。回路形態、回路素子が変化しない場合には $[C]^T$ を求めて記憶しておくことにより計算時間を短縮することもできる。回路の形態が運転モードによつて変化するような場合にはクロネッカーデルタを使用することにより対処した。以下に回路図は電気的にアナログした記号をもつて表わした。

3. 集熱器について。ここでは太陽熱集熱器とは空気加熱形式のものであり某工場の換気用熱源として製作、実験された。この数値モデルとして 2 通り作製した。1 つは上述の方法でありもう 1 つはコンベントショナルな定常計算である。定常計算とは熱媒について流れ方向の微分方程式をたて、これに入りこんでくる他の層の未知数を連立された方程式の並行列式を使つて消去して積分を行うものである。Fig. 1 は集熱器の 1 つのユニットである。实物ではこれらが並列に 7 つ重ねてある。Fig. 2 は二つの集熱器を回路図にアナログしたのである。節点 11 から 15 は熱媒としての空気流が流れているために熱とし 1 つ一方通行であるからダイオードを回路素子としてアナログしてある。1 から 5 までは前面のガラス、6 から 10 までは吸収板、16 から 20 までは背後の断熱材の表半分、21 から 25 までは裏半分をそれぞれ流れ方向に分割しきつめた。6 から 16、タから 18 のようにとんで結線してあるのは吸収板裏と断熱材表面との相互輻射熱交換があるのである。Fig. 3 はこれらの結果である。二の計算法により実測値とのタイムラグを定常計算にくらべて 15 分ほど縮めたところである。すなわち日射は垂直南面全日射量から L 11 まで Jordan の近似式により直散分離を行つた。

実測値と完全に一致しなかった原因は簡単にわかるものではないが、实物は 7 つ並列された集熱器の出口部をダクトで繋ぎ、中央部からファンで吸上げているから、風量の不均一とそれに相對する煙突効果により各部の全体として蓄熱作用を持つようになりこれが残りのタイムラグ 15 分を占めているのではないかと思われる。



4. 自然空調の家について。同じ計算法を自然空調の家のシステムシミュレーションに適用して各サブシステムの有効性について調べてみた。サブシステムとして主に3つ考えてみたい。1つはFig.5の断面図にあらわされるような空気加熱集熱器と二重にようこそ加熱された空気が通路によってある2重格子配列のレンガ積みの蓄熱材である。2つめはFig.6によつてあらわされるウォーターバッゲシステムである。これはプラスチックの袋に入かられた水が屋根と天井を兼ねて置かれてある外側がコントロールパネルによつて日射、熱流の制御を行うものである。冬期においては屋間に日射によつてあたためられたウォーターバッゲは夜間、天井輻射で室内を暖房する。夏期は夜間輻射でウォーターバッゲを含む屋に輻射冷房をもくろむ。もう一つはFig.7のようにコンクリート屋根スラブの上に回転ルーバーをつけて日射、熱流の制御を行いウォーターバッゲ同様の効果を期待するサブシステムである。

これらを回路図にアノログしたもののがFig.8である。節点2、3、4、5はレンガ積みを上下方向に4分割してつけたものである。Fig.9、10は種々の運転モードによつて運転した例のいくつかを抽出したものである。上方には日射量、下には外気、室温、環境温度をえがいて。環境温度は室温4割、MRT 6割で評価する環境指標である。

ここに載せた運転タイプAはサブシステムをフルに使った形態である。つまりコレクターで集熱可能と計算した時はレンガをあたためのこれを夜間に放熱する。さらにウォーターバッゲにおいてはコントロールパネルを開閉し、コンクリート屋根スラブにおいても回転ルーバーを開閉する。タイプBはタイプAにおいて蓄熱を省き直接室内を暖房するようにしたものである。以上のようすはシミュレーションによつてウォーターバッゲタイプのサブシステムは非常によい効果をもつことがわかった。一方、マッシュグはコンクリートと回転ルーバーを組み合せたサブシステムは全く効果がよくなかった。もし改良しようと思うならばルーバーの断熱性を上げコンクリートスラブを薄くしてトラップされた熱が有効に室内側へ流れるようにすべきであろう。

5. 結論。全体としてプログラムの細工に熱中してしまって熱的分析と評価がおろそかになってしまった感じがある。本質的には面倒な式の扱いを省いただけといえるのだが熱システムの構造と見通しが、かなりわかりやすく、簡単に解けるようになつたこと自分では思える。

一参考文献一

"Modeling of Solar Heating and Air Conditioning" Solar Energy Laboratory Univ. of Wisconsin Madison
31 January 1973

*早稲田大学教授・工学博士 **清水建設株式会社・研究所

